

Uzaktan Algılamada Yüksek Başarım

Mustafa Teke^{1,2}, Ahmet Erdem^{1,2}, Alptekin Temizel²

1. HAVELSAN A.Ş.

{mteke, aerdem}@havel-san.com.tr

2. Enformatik Enstitüsü

Orta Doğu Teknik Üniversitesi

atemizel@ii.metu.edu.tr

Öz

Uydu görüntüleri son yıllardaki teknolojik gelişmeler ve yapılan yatırımlar ile daha kolay elde edilebilir duruma gelmiştir. Artan veri miktarına karşın verileri yüksek performansta kıymetlendirecek sistemler mevcut işlemcilerin saat hızları ile sınırlı kalmaktadır. Uydu görüntüleri genel kullanımdaki fotoğraflardan farklı olarak 4 ve üzeri bantlı ve 16-bit veri yapısı ile saklanmaktadır; görüntü boyutları çözünürlüğe bağlı olarak yüksek olabilmektedir. Bu çalışmada ön işleme, gölge tespiti ve bitki tespiti için kullanılan uzaktan algılama algoritmalarının GPU kullanılarak hızlandırılması ve algoritmaya özel optimizasyon ile ilgili çalışmalar sunulmaktadır. GPU'da yapılan paralelleştirme ve algoritmaya özel iyileştirmeler ile 10 kata kadar performans artışı sağlanabilmektedir.

1. Giriş

Yeryüzünü gözlemlemek için uzaya gönderilen uyduların sayısı arttıkça alınan veri miktarı da artmaktadır. Bir uydu görüntüsünün boyutları bant sayısı ve çözünürlüğüne bağlı olarak çok yüksek olabilmektedir. Örneğin 10000x10000 piksel çözünürlüğünde 4 bant bir uydu görüntüsü 800MB civarında bir boyuta ulaşabilmektedir. Bu büyüklükte verileri günümüz merkezi işlemci (CPU) teknolojisi ile işlemek mümkün olmakta, fakat hızlı işleme için çok sayıda işlemci ünitesini birlikte kullanmak gerekmektedir. Grafik işlemci üniteleri (GPU) CPU teknolojilerine kıyasla çok daha hızlı gelişmektedir ve paralelleştirmeye uygun işlemler genel amaçlı grafik birimleri (GPGPU) ile yapıldığında CPU sistemlerine göre daha yüksek başarımla elde edilebilmektedir. Veri ve işlemlerin paralel olduğu görüntü işleme gibi alanlarda GPU paralel hesaplama yöntemlerinin kullanımı işlem süresini kayda değer oranlarda kısaltmaktadır. Bu bildiride, ön işleme, gölge tespiti, bitki tespiti, gölge üreten bölütlerin tespiti gibi uzaktan algılama algoritmalarının paralelleştirilerek GPU üzerinde gerçekleştirilmesi ile ilgili çalışmalarımız sunulacaktır.

GPU'lar 2B/3B grafik oluşturma ve görüntüleme görevlerini yerine getirmek için tasarlanmışlardır. Günümüzde bu grafik üniteleri 1 Teraflop ve üzeri işlem gücü sunmaktadır, buna karşılık CPU'ların işlem güçleri 100 Giga-flop seviyelerindedir. Ayrıca grafik birimleri verileri paralel olarak işlemek için tasarlanmış (örneğin bir sahneyi ekranda çizmek gibi), CPU ise genel amaçlı işlemleri yerine getirmek üzere tasarlanmıştır [1].

GPU ile programlama zorlayıcı bir geliştirme yöntemi olagelmıştır. Fakat günümüzde CUDA (Compute Unified Device Architecture) [2] ve OpenCL [3] gibi geliştirme kütüphanelerin sayesinde uygulama geliştirme süreçlerin kolaylaşmıştır. Bu kütüphaneler sayesinde grafik birimleri çizim benzeri amaçlar dışında kullanılabilmektedir. Grafik birimlerinin genel amaçlı işlemler için kullanılması işlemi general-purpose computation on GPU (GPGPU) olarak adlandırılmaktadır.

Görüntülerin matris (2 ve 3) boyutlu yapısı sayesinde çoğu görüntü işleme algoritması veri seviyesinde paralelleştirilebilmektedir. K. Park *et al* önemli görüntü işleme algoritmalarını CPU ve GPU gerçekleştirmelerini karşılaştırmalarını yapmışlardır [4]. GpuCV [5] ve OpenVIDIA [6] görüntü işleme algoritmalarının GPU üzerinde hesaplandığı kütüphanelerdir. Ayrıca OpenCV 2.3 [7] kütüphanesi bir kısım fonksiyonlarının GPU üzerinde çalışan uyarlamalarına sahiptir ve gün geçtikçe artan sayıda fonksiyonun GPU uyarlaması gerçekleştirilmektedir.

Hava ve uydu fotoğraflarının otomatik olarak hızlı bir şekilde işlenmesine ihtiyaç duyulmaktadır. Uzaktan algılama çalışmalarında kullanılan görüntülerdeki gölge bölgelerinin tespiti, bölütleme, 3B sahne geriçatımı ve çakıştırma algoritmalarında performansı düşürdüğü için önemlidir. Ayrıca, gölge bilgisi insan yapısı nesneleri tespit etmek için de kullanılabilmektedir [8]. Sonuç olarak gölge tespiti gölgeleri temizleyerek bağlı algoritmaların performansını arttırdığı gibi hedeflerin tespiti işlemlerinde de ipucu olarak kullanılabilmektedir.

Gölge tespiti algoritmaları genellikle farklı renk uzaylarındaki renk verilerini kullanırlar. Polidorio *et al.* [9] HSI uzayındaki normalize yeğnlik (I, intensity) ve doygunluk (S, saturation) kullanarak gölge haritası oluşturur. Bu oluşturulan harita sabit bir değer ile eşiklenerek gölge maskesi elde edilir.

Canlı bitkiler güneşten gelen radyasyonu fotosentez işlemi sırasında soğurur, yaprak hücreleri kızılötesi bandındaki radyasyonu ihtiyaç olmadığı için geri yansıtır [10]. Sonuç olarak bitkiler yüksek kızılötesi değerlerine sahiptir; bu sonuç Normalize Bitki İndeksi (Normalized Vegetation Index (NDVI)) ile özetlenebilir:

$$NDVI = \frac{NIR - VIS}{NIR + VIS} \quad (1)$$

NIR kızılötesi, VIS görünür renk değeridir. Bitkisel alanlar 0.2 ile 0.4 arasında değişen oranlara sahip bölgelerdir. Bitki İndeksi değeri sensör kalitesi ve atmosferik etkilerden etkilenebilmektedir. Normalize Bitki İndeksi ilk geliştirilen ve en başarılı uzaktan algılama algoritmalarından birisidir.

Uzaktan algılama verileri ile ilgili başka bir algoritma grubu ise ön işleme algoritmalarıdır. Bu algoritmalar coğrafi bilgi sistemlerinde yoğun bir şekilde kullanılmaktadırlar. Bu algoritmalar gölge veya bitki tespiti gibi algoritmaların performanslarını arttırmanın yanısıra görüntülerin göz ile de daha kolay görülmesini sağlamaktadır. En yaygın kullanılan ön işleme yöntemi histogram eşitleme ve kontrast açmadır.

Kontrast açma, görüntü piksel değerlerinin [0, 255] (12-bit uydu görüntüleri için [0-2047]) aralığına genişleme yapılır) aralığına lineer bir şekilde genişletilmesidir. Kontrast açma işleminin zayıf tarafı az görülen piksel değerlerinin, yaygın görülen piksel değerleri ile aynı oranda genişletiliyor olmasıdır. Histogram eşitleme operasyonu ise piksel değerlerinin olasılıksal

dağılımlarına göre iyileştirme yapar ancak piksellerin dağılımını lineer olmayan bir şekilde değiştirdiği için gölge bulma işlemi için kontrast açma işlemi daha uygundur.

Gölge üreten bölütlerin tespiti nesne tespiti için önemli bir ön aşamadır. Literatürde gölge bilgisi bina ve hasar tespitinde kullanılmıştır. Gölge üreten bölütlerin tespiti işlemini hızlandırmak daha sonraki kullanılacak nesne tespiti algoritmaları için önemlidir.

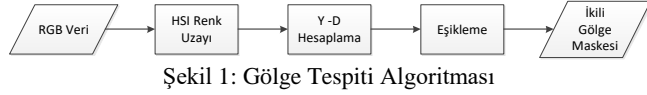
Sırmaçek B., ve Ünsalan C. [11], gölge verilerini nesne tespitinde ipucu olarak kullanmıştır. Irwin R. B., ve McKeown D. M. [12], gölgeyle insan yapısı nesnelerin birbirleriyle olan ilişkilerini kullanarak otomatik olarak insan yapısı nesneleri bulmak üzere yöntemler geliştirmişlerdir. Vu T., Matsouka M., ve Yamazaki F. [13], binaların gölgelerinin yönelim, şekil ve büyüklüklerine göre deprem sonrası hasar tespitinde gölge ve binaların ilişkilerini kullanmıştır. Sırmaçek B., ve Ünsalan C. [14], hasarlı binaların tespitinde gölge ile bina ilişkisini ve gölgelerin şekillerini kullanmıştır.

2. Algoritma Detayları ve Gerçekleştirmeler

Bu çalışmada gölge tespiti algoritması olarak Polidorio et al. [9] tarafından önerilen yöntem kullanılmıştır. Öncelikli olarak RGB renk uzayı HSI renk uzayına çevrilmiş, daha sonra yeşinlik ve doygunluk farkı kullanılarak gölge haritası oluşturulmuştur:

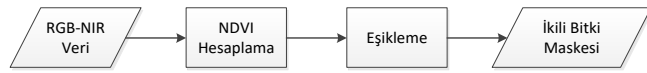
$$Y - D < K \quad (3)$$

K eşik değeri uydu görüntüleri için -0.2 olarak seçilmiştir. İkili gölge maskesi eşik değeri kullanılarak elde edilmektedir. Algoritma akış diyagramı Şekil 1'de gösterilmektedir.



Şekil 1: Gölge Tespiti Algoritması

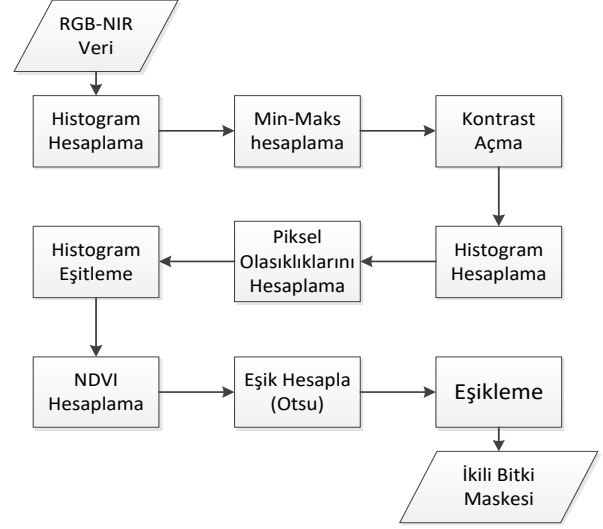
Bitki tespiti için NDVI hesaplanarak eşik değeri ile ikili maske elde edilmiştir. Bitki algoritması eşik değeri Şekil 2'de gösterilmektedir.



Şekil 2: Bitki Tespiti Algoritması

Bitki tespiti algoritmasının gerçekleştirilmesi iki farklı ön işleme algoritması (kontrast açma ve histogram eşitleme) ile birlikte yapılmıştır. İlk olarak kontrast açma işlemi uygulanır, daha sonra normalizasyonu yapılan görüntü üzerine histogram eşitleme ön işlemi tamamlanır. Son olarak NDVI hesaplanarak Otsu'nun yöntemi [15] ile otomatik eşitleme yapılır. Algoritma adımları Şekil 3'de gösterilmektedir.

Gölge üreten bölütlerin tespitinde görüntü meanshift [17] algoritması kullanılarak bölütlere ayrılmıştır. Bu bölütler gölgelerle ilişkilendirilmiştir. Bu amaçla gölge sonuçları ışık yönünün tersi yönde büyütülmüş ve orijinal gölge sonuçları büyütme sonuçlarından çıkarılmıştır. Elde edilen sonuçlar bölütlerle birleştirilmiştir. Üzerindeki gölge miktarı eşik değerinden büyük olan bölütler gölge üreten bölütler olarak seçilmiştir.



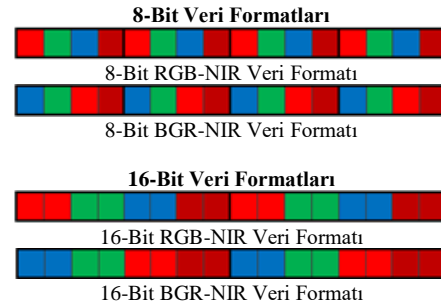
Şekil 3: Ön İşleme, Otomatik Eşikleme ve Bitki Tespiti Algoritması

Algoritmalar C++ dilinde OpenCV [7] ve OpenMP (OMP) [15] kullanılarak gerçekleştirilmiştir. OpenMP ile algoritmalar çok izlekli çalışması sağlanmıştır. 4 bant, 16-bit uydu görüntülerinin yüklenmesi GDAL kütüphanesi kullanılarak yapılmıştır.

Testlerde kullanılan algoritmalar veri seviyesinde paralelleştirilmeye uygun algoritmalar; bu sayede algoritma adımları CUDA (NVIDIA Compute Unified Device Architecture) çekirdek kodlarına çevirebilmiştir.

Bitki tespiti algoritmasını hızlandırmak için ek adımlar kullanılmıştır. Bunlardan ilki ön işleme adımlarında kullanılmayan mavi ve kırmızı bantların çıkarılması olmuştur. Bu sayede yapılan işlem ve hafıza erişiminden zaman kazancı sağlamak mümkündür.

İkinci iyileştirme ise veri sırasını değiştirme işlemidir. Görüntüler RGB-NIR veya BGR-NIR formatında olabilmektedir. NDVI algoritmasında kırmızı ve kızılötesi bantlar kullanıldığı için BGR-NIR bant formatında hafıza erişimi kısılacaktır; R ve NIR bantlarının erişimleri sırasında veri okuma işlemi komşu bloklar arasında yapılacağı için okumadan kaynaklanan gecikmeler azalacaktır. 8-bit ve 16-bit görüntüler için yapılan iyileştirmeler Şekil 4 ile gösterilmektedir.



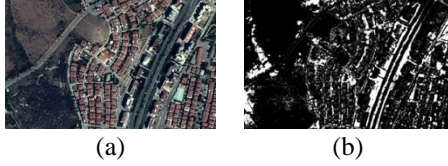
Şekil 4: 8 ve 16-bit veriler için değiştirilmiş görüntü formatları

3. Test Sonuçları

Testlerde farklı boyutlardaki görüntüler kullanılarak performans ölçümleri yapılmıştır. Bitki tespiti algoritması (Algoritma 2) en

basit algoritma olmakla birlikte ön işleme kullanılarak gerçekleştirilen bitki tespiti algoritması (Algoritma 3) en karmaşık algoritmadır. Testler Intel i7 860 işlemcisi (4 çekirdek 8 izlek) ve NVIDIA GTX 460 (336 CUDA çekirdek) ile yapılmıştır.

Ortalama boyutlardaki bir uydu görüntüsü 5000x5000 piksel olabilmektedir ve hafızada 200MB civarında veri alanı kaplamaktadır. Yapılan testlerde veri boyutunun performansa olan etkisi araştırılmıştır. Bu amaçla çeşitli boyutlardaki 4 bant 16-bit görüntüler kullanılmıştır: küçük (322x265 piksel, 1MB), orta (1535x968, 12MB) ve büyük (4657x4241, 154MB) görüntüler. Bu görüntüler ayrıca 8-bit formatına çevirilerek aynı testler yapılmış ve sonuçlar karşılaştırılmıştır.



Şekil 5: (a) Test görüntüsü, (b) Bitki algoritması gerçekleştirimi sonucu

Şekil 5'te 1535x968 boyutlu görüntü için bitki algoritması gerçekleştirim sonucu görüntülenmektedir.

Tablo 1'de görüntü boyutunun farklı algoritmaların performanslarına olan etkisi gösterilmektedir. Küçük (322x265) boyuttaki görüntü için veri işleme performansı orta ve büyük boyutlardaki görüntülerle karşılaştırıldığında düşük kalmaktadır; grafik biriminde bulunan çekirdekler düşük hacimli veriler için yeterince verimli kullanılamamaktadır. Bazı düşük hacimli veri kullanılan durumlarda grafik birimleri üzerinde yapılan gerçekleştirmeler genel amaçlı işlemci gerçekleştirmelerinden daha düşük performans vermektedir. NDVI algoritması gölge tespiti algoritmasından daha çok işlem yapmakta ve daha uzun sürmektedir. Gölge tespiti (Algoritma 1) ve Bitki Tespiti (Algoritma 2) algoritmalarının tek bir çekirdek operasyonu ile kodlanmaları sonucu toplam süre daha az olmaktadır.

Tablo 1: Görüntü boyutunun GPU gerçekleştirmelerinde performansa olan etkileri

	Görüntü Boyutu	Süre (ms)	Mpiksel/s
Gölge (Algoritma 1)	322x265	0.38	888
	1535x968	1.73	3440
	4657x4241	22.51	3510
Bitki (Algoritma 2)	322x265	0.38	907
	1535x968	0.73	8094
	4657x4241	7.56	10450
Gölge ve Bitki	322x265	0.36	960
	1535x968	1.81	3280
	4657x4241	26.94	2933

Tablo 2'de hafızaya veri aktarımının performansa olan etkisi görülmektedir. Algoritma karmaşıklığı azaldıkça veri transferinin toplam süreye etkisi artmaktadır. Örneğin en basit algoritma olan bitki tespiti algoritması için veri transferi toplam zamanın büyük

kismini kapsamaktadır. *GPU 8 Bit Veri* ile algortimaların sadece GPU'da işleme zamanı gösterilmekte iken *GPU 8 Bit Veri* ve *Hafıza Erişimi* ile verilerin GPU'ya aktarılma zamanları da hesaplama dahil edilmektedir.

Genel amaçlı işlemci gerçekleştirmeleri ile yapılan performans karşılaştırmalarında eşit koşullarda ölçüm yapmak için hafıza veri aktarımı yapılan kısımlarda ölçülmelidir. Yapılan testlerde gölge, bitki ve gölge+bitki algoritmaları sırası ile 10.9, 8.2 ve 14.7 kat hızlandırılmışlardır.

Tablo 2: Hafızaya veri aktarımının performansa olan etkisi

	Algoritma	Süre (ms)	Mpiksel/s
GPU 8 Bit Veri	Gölge	22.51	3510
	Bitki	7.56	10450
	Gölge+Bitki	26.94	2933
GPU 8 Bit Veri ve Hafıza Erişimi	Gölge	59.88	1319
	Bitki	47.42	1666
	Gölge+Bitki	75.74	1043
CPU 16 Bit Veri	Gölge	652.62	121
	Bitki	390.93	202
	Gölge+Bitki	1112.94	71

Tablo 3'te bitki tespiti algoritmasının ön işleme ve otomatik eşitleme kullanılarak yapılan gerçekleştirmenin performans ölçümü sonuçları verilmektedir. Küçük görüntü boyutu için performans artışı sınırlı kalmaktadır. Görüntü boyutu arttıkça 10.2 kata kadar performans artışı görülmektedir. 8-bit veri ile yapılan testler 16-bit veri kullanılan duruma göre 3 ile 7 kat arasında artış göstermektedir fakat sonuçlarda hassasiyet azalmaktadır.

Kompleks NDVI algoritmasının (Algoritma 3) performansı sadece kırmızı ve kızılötesi bantlarının kullanılması ile artırılabilir. Tablo 4 ile grafik birimi ile yapılan gerçekleştirmenin sonuçları 8-bit ve 16-bit veri için sunulmaktadır. 16-bit veri ile yapılan testlerde daha yüksek veriye ulaşım yapıldığı için süre artışı daha yüksektir.

Mavi ve yeşil bantların ön işleme adımlarından çıkarılması performansı artırmıştır fakat kırmızı renk verisi hafıza bloğunun başından, kızılötesi ise sonundan okunmaktadır. Aralıklı veri okumayı azaltmak için veri formatı RGB-NIR yerine BGR-NIR olarak tutulursa bir miktarda artış sağlamak mümkün olacaktır. Orta boyutlu görüntü (1535x968) için yapılan testlerde sonuçlar Tablo 5 ile verilmektedir. Bant sırasını değiştirmek 8-bit ve 16-bit görüntülerde sırası ile %36.5 ve %4.5 performans artışı sağlamıştır. Sonuçlar grafik birimi gerçekleştirimi ile genel amaçlı işlemcinin çoklu işlek gerçekleştirmesinin karşılaştırılması ile elde edilmiştir.

Gölge üreten bölütlerin tespitinde CPU ve GPU performansları karşılaştırılmıştır. Buna göre görüntü boyutu büyüdükçe GPU'nun performans kazancı artmaktadır. Bunun nedeni görüntü boyutu büyüdükçe GPU kapasitesi daha çok kullanılabilmiş olmasıdır. CPU ve GPU karşılaştırma sonuçları Tablo 6: Bunun yanında bölüt sayısı performans değerlerini etkilemektedir.

Tablo 3: Kompleks Bitki Tespiti Algoritması (Algoritma 3) için CPU ve GPU gerçekleştirim sonuçları

	Görüntü Boyutu	Süre (ms)	Mpiksel/s
8 Bit Veri	322x265	3.04	112.28
	1535x968	15.6	380.99
	4657x4241	163.2	484.08
16 Bit Veri	322x265	5.06	67.45
	1535x968	31.08	191.23
	4657x4241	397.45	198.77
8 Bit CPU Veri OMP	322x265	14.62	23.35
	1535x968	156.22	38.05
	4657x4241	1866.28	47.41
8 Bit CPU Veri	322x265	18.42	18.53
	1535x968	311.23	19.10
	4657x4241	4004.91	19.73
16 Bit CPU Veri OMP	322x265	10.03	34.03
	1535x968	156.08	38.08
	4657x4241	1688.06	46.80
16 Bit CPU Veri	322x265	14.03	24.33
	1535x968	371.08	16.02
	4657x4241	4467.75	17.68

Tablo 4: Kompleks Bitki Tespiti Algoritması (Algoritma 3) için işlemci ve grafik birimi gerçekleştirim sonuçları

Veri Formatı	Süre (ms)	Mpixels/sec
8-Bit (4 bant)	15.60	380.99
8-Bit (2-bant)	13.08	454.54
16-Bit (4 bant)	31.08	191.23
16-Bit (2-bant)	20.37	291.77

Tablo 5: Bant sırasını değiştirmenin gerçekleştirim performansına etkileri

Bit Sayısı	Bant Sırası	Süre (ms)	Mpixels/s
8-Bit	RGB-NIR	13.08	455
8-Bit	BGR-NIR	9.57	621
16-Bit	RGB-NIR	20.37	292
16-Bit	BGR-NIR	19.49	305

Gölge üreten bölütlerin sonuçları Şekil 6'da gösterilmiştir. Bu aşamadan sonra bu bölütler nesne tespitinde girdi olarak kullanılabilir.

Tablo 6: Gölge Üreten Bölütler Sonucu

Görüntü Boyutu	Süre (CPU)	Süre(GPU)
(174*217)	0.39ms	0.29ms
(290*385)	0.62ms	0.40ms
(369*414)	0.74ms	0.50ms
(1535*968)	28.85ms	5.98ms



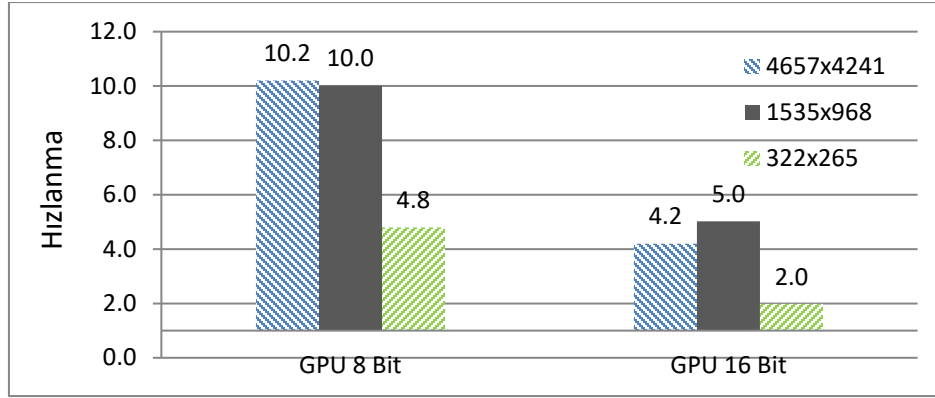
Şekil 6 a. Orijinal Görüntü b. Bölütleme Sonuçları c. Gölge Sonuçları d. Gölge Üreten Bölüt Sonuçları

4. Sonuçlar

Grafik birimleri genel amaçlı işlemcilerden çok daha hızlı gelişmektedirler ve paralel işlemler için daha uygundurlar. Yaptığımız testlerde görüntü boyutu artışı ile grafik işleme birimlerini daha verimli kullanabildiğimizi gördük. Genel amaçlı işlemci performansı, ön belleğine alınabilecek kadar küçük görüntülerde, daha büyük görüntülere göre daha yüksek olmaktadır. Hassasiyet kaybının önemli olmadığı durumlarda (örneğin 16-bit'ten 8-bit'e yapılan çevirim) veri miktarını küçültmek performans artışı sağlamaktadır. Grafik birimlerinde geçen sürenin büyük bölümü veriye ulaşım sırasında harcanmaktadır. Veri boyutunu 16-bit'ten 8-bit'e çevirdiğimizde performansın 2 kat artması bunu göstermektedir. Ayrıca genel amaçlı işlemci birimi verinin formatının 8-bit veya 16-bit olmasından çok etkilenmemektedir. Şekil 7 ile gösterilen sonuçlarda gösterildiği gibi 4657x4241 piksel boyutlu görüntü için grafik birimi performansı çoklu işlek gerçekleştirim performansının 4.2 katı iken bu oran 8-bit veri için 10.2 kattır.

Yaptığımız diğer bir gözlem NDVI gibi bir algoritma o algoritmaya özel optimizasyonlar ile daha da hızlandırılabilir; kullanılmayan bantların ön işlemeden hariç tutulması ve veri formatının daha hızlı veri erişimine uygun hale getirilmesi gibi.

Sonuç olarak görüntüler doğası gereği paralel uygulamaya elverişli oldukları için (veri paralel) grafik biriminde yapılan işlemler ile hız artışı sağlanmaktadır. Yaptığımız testlerde büyük boyutlu görüntülerini (örneğin 10000x10000, 800MB) giriş seviyesi bir grafik biriminde parçalara ayırmadan işleyemediğimizi gördük Testlerde kullanılan algoritmalarda ön işleme işlemlerinde tüm görüntüden alınan istatistikler kullanılacağı için grafik birimlerinin kısıtlı hafızaları sorun teşkil etmektedir.



Şekil 7: Grafik birimi işlemci gerçekleştirilmesinin genel amaçlı işlemci çoklu izlek gerçekleştirilmesine göre hızlanma oranları (Tablo 3).

5. Kaynakça

- [1] D. B. Kirk and W. W. Hwu, Programming Massively Parallel Processors A Hands-on Approach. Elsevier, 2010.
- [2] NVIDIA Corporation, Compute Unified Device Architecture (CUDA), <http://developer.nvidia.com/object/cuda.html>, 2011.
- [3] Khronos Group, Open Computing Language (OpenCL), www.khronos.org/opencl/, 2011.
- [4] In K. Park, Nitin Singhal, Man H. Lee, Sungdae Cho, Chris Kim, "Design and Performance Evaluation of Image Processing Algorithms on GPUs," IEEE Transactions on Parallel and Distributed Systems, Vol. 99, No. 1., Feb. 2011.
- [5] Y. Allusse, P. Horain, A. Agarwal, and C. Saipriyadarshan, "GpuCV: An Opensource Gpu-Accelerated Framework for Image Processing and Computer Vision," in Proc. ACM Int'l Conf. Multimedia, Oct. 2008, pp. 1089-1092.
- [6] J. Fung, S. Mann, and C. Aimone, "OpenVIDIA: Parallel GPU Computer Vision," in Proc. ACM Int'l Conf. Multimedia, Nov. 2005, pp. 849-852.
- [7] OpenCV Open computer Vision Library, <http://opencvlibrary.sourceforge.net/>, 2011.
- [8] Irvin B. and McKeown J.R., "Methods for exploiting the relationship between buildings and their shadows in aerial imagery", IEEE Transactions on System, Man and Cybernetics, 19(6), pp. 1564-157, 1989.
- [9] A. M. Polidorio, F. C. Flores, N. N. Imai, A. M. G. Tommaselli and C. Franco, "Automatic Shadow Segmentation in Aerial Color Images", in Proc. of the XVI Brazilian Symposium on Computer Graphics and Image Processing, Sao Carlos, Nov. 2003, pp. 270-277.
- [10] Tucker, C.J., "Red and Photographic Infrared Linear Combinations for Monitoring Vegetation", Remote Sensing of Environment, 8(2), 127-150, 1979.
- [11] Sırmaçek B., ve Ünsalan C., "Building Detection from Aerial Images Using Invariant Color Features and Shadow Information", IEEE International Symposium on Computer and Information Sciences, (2008).
- [12] Irwin R. B., and McKeown D. M., "Methods for Exploiting the Relationship Between Buildings and Their Shadows in Aerial Imagery", IEEE Transactions on Systems. Man, and Cybernetics, Vol. 19, NO. 6, 1564 - 1575 November/December (1989).
- [13] Vu T., Matsouka M., and Yamazaki F., "Shadow analysis in assisting damage detection due to earthquake from quickbird imagery," Proceedings of The 10th International Society For Photogrammetry and Remote Sensing Congress, pp. 607-611, (2004).
- [14] Sırmaçek B., ve Ünsalan C., "Damaged Building Detection in Aerial Images using Shadow Information", IEEE 4th International Conference on Recent Advances in Space Technologies (RAST '09), (2009).
- [15] Nobuyuki Otsu, "A threshold selection method from gray-level histograms". IEEE Trans. Sys., Man., Cyber. 9: 62-66, 1979.
- [16] OpenMP Website, <http://openmp.org/wp/>, 2012.
- [17] Comanicu D., and Meer P., "Mean Shift Analysis and Applications," The Proceedings of the Seventh IEEE International Conference on Computer Vision., vol.2, no., pp.1197-1203 vol.2, (1999).